



Parco Nazionale del Gran Paradiso  
via della Rocca 47  
10123 Torino  
tel. 011 8606211  
fax. 011 8121305  
www.pngp.it

C.F. 80002210070  
P. IVA. 03613870017

## PROGETTO PER UN CENTRO VISITATORI NEL PARCO NAZIONALE GRAN PARADISO A CAMPIGLIA SOANA

### LOCALIZZAZIONE

ITALIA	REGIONE PIEMONTE	PROVINCIA DI TORINO	COMUNE DI VALPRATO SOANA
--------	------------------	---------------------	--------------------------

## PROGETTO ESECUTIVO \_ PRIMO LOTTO FUNZIONALE

### OGGETTO DELL'ELABORATO

### RELAZIONE GEOTECNICA

### CODICE ELABORATO

DI12\_CAMPIGLIA\_ES1\_0

### SCALA

1:50

### DATA

13.11.09

REV.	DATA	DESCRIZIONE	DIS.TO	REV.TO	APP.TO
00	13.11.09	EMISSIONE	-	-	-

D26

### COMMESSA

CMP\_09

### FILE

DI12\_CAMPIGLIA\_ES1\_0

### DATI PROGETTISTI

Architetto Hermann Kohllöffel Mandatario

### Mandanti:

ing. Giuseppe Bongiorno  
consulente strutture: Ingeo Associati, ing. Riccardo Sampietro

arch. Benedetto Camerana

Golder Associates srl - Metec&Saggese  
ing. Salvatore Calì Quaglia - ing. Margherita Converso

arch. Alessandro Rigazio

arch. Andrea Tonin

### TIMBRI - FIRME



### DIRITTI D'AUTORE RISERVATI

### UFFICIO DEL RESPONSABILE DEL PROCEDIMENTO

Responsabile del Procedimento: arch. Elio Tompetrini  
Responsabile dell'Ufficio Tecnico: arch. Barbara Rosai

### FIRMA

## SOMMARIO

<b>1 INTRODUZIONE</b>	<b>1</b>
<b>2 CARATTERIZZAZIONE GEOLOGICA</b>	<b>2</b>
2.1 ASPETTI GEOLOGICO – STRUTTURALI.	2
2.2 ASPETTI GEOMORFOLOGICI.	2
<b>3 CARATTERIZZAZIONE GEOTECNICA</b>	<b>3</b>
<b>VERIFICA PLINTI 120X120</b>	<b>4</b>
3.1 SOLLECITAZIONI	4
3.2 PRESSIONI SUL TERRENO	5
3.3 VERIFICHE DEL PLINTO.	6
<b>4 VERIFICA PLINTI 150X150</b>	<b>8</b>
4.1 SOLLECITAZIONI	8
4.2 PRESSIONI SUL TERRENO	9
4.3 VERIFICHE DEL PLINTO.	10
<b>5 VERIFICA MURI D'ALA</b>	<b>12</b>
5.1 MURI H=208	12
5.2 MURI H=300	16

# 1 INTRODUZIONE

---

Nel 1998, il dott. geologo Paolo Quagliolo ha effettuato uno studio di compatibilità geomorfologica relativo al progetto preliminare del Giardino Alpino. L'obiettivo dello studio era la redazione di una carta della pericolosità geomorfologica della conoide del Rio Busiaire. Lo studio è stato condotto tramite una valutazione qualitativa e quantitativa della pericolosità, utilizzando i metodi semiempirici proposti nel Progetto Finalizzato Conoidi 1977 dal Settore Prevenzione del Rischio Geologico, Meteorologico e Sismico della Regione Piemonte.

Nel 2008, il dott. geologo Paolo Quagliolo ha redatto una relazione geologica comprensiva della caratterizzazione litostratigrafica ottenuta mediante l'esecuzione di due pozzetti esplorativi. Nella suddetta relazione il dott. Quagliolo fornisce una caratterizzazione geomeccanica del suolo.

La presente relazione riprende quindi le risultanze della relazione geologica e, verificate le attribuzioni di caratteristiche geomeccaniche del dott. Quagliolo, verifica la capacità portante del terreno di fondazione. L'ultimo capitolo della relazione riporta il dimensionamento dei plinti di fondazione e dei muri controterra.

Durante l'esecuzione delle indagini geologiche (scavi esplorativi fino alla profondità di tre metri) è stata riscontrata la presenza di grossi blocchi di dimensione plurimetrica (trovanti). Il numero e l'esatta dimensione di questi trovanti rappresenta un incerto geologico che non potrà essere esattamente quantificato fino a quando non si completeranno le attività di scavo.

## **2 CARATTERIZZAZIONE GEOLOGICA**

---

Si riportano nel seguito gli aspetti geologico strutturali e geomorfologici così come descritto dal dott. Quagliolo

### **2.1 Aspetti geologico – strutturali.**

Il bacino del Rio Busiaire si trova impostato, per tutta la sua estensione, nei litotipi della Falda penninica del Gran Paradiso.

Dal punto di vista geologico si presenta pertanto privo di elementi particolarmente significativi, che possano incidere in maniera determinante sulle relative caratteristiche geomorfologiche. Il substrato litoide è formato da ortogneiss e gneiss minuti.

L'elemento strutturale di grande scala è rappresentato dal contatto tettonico (sovrascorrimento) tra la Falda del Gran Paradiso e la zona Piemontese, che segue grosso modo il fondovalle principale della Valle di Campiglia. A livello generale, l'immersione della scistosità è principalmente verso E, in quanto segue quella dei contatti tettonici principali.

L'analisi fotogeologica del Bacino del Rio Busiaire ha permesso di individuare alcuni lineamenti tettonici che rappresentano i sistemi principali. A questi va ricondotto il controllo strutturale di rilevanza locale, evidenziato dall'andamento geometrico di buona parte del reticolato idrografico.

### **2.2 Aspetti geomorfologici.**

L'assetto geomorfologico attuale della Valle Soana è il risultato della sovrapposizione spaziale e temporale dei processi connessi alla dinamica fluviale, alla dinamica di versante ed alla dinamica glaciale, con effetti e velocità evolutive differenti in relazione all'assetto geologico e strutturale dell'area. Il paesaggio attuale è essenzialmente dovuto ai processi che hanno avuto inizio con le glaciazioni della fine del Pleistocene inferiore, e sono proseguiti durante tutto il quaternario con un susseguirsi di "pulsazioni" glaciali fino al Pleistocene superiore. Poi assumono un ruolo predominante i processi gravitativi e fluviali, mentre l'azione modellatrice dei ghiacciai resta confinata alla testata delle valli. In tal senso è importante sottolineare come i processi morfodinamici sono ancora molto attivi, e pertanto il paesaggio è da considerarsi ancora in "rapida" evoluzione: le frane di vario tipo e gli eventi alluvionali recenti ne sono la dimostrazione più evidente.

I litotipi del Gran Paradiso affioranti nel bacino in studio possono essere associati, sulla base delle tipologie di dissesto osservate, sostanzialmente a fenomeni di crollo, con formazione di falde di detrito al piede dei versanti rocciosi.

Il conoide rappresentata allo sbocco del vallone nel fondovalle, sulla quale sono previste le opere in Progetto, è il risultato dell'apporto detritico proveniente dal bacino, accumulato in successione temporale. Si rimanda alla relazione Geologica per un'analisi dettagliata sulla pericolosità geomorfologica della conoide del Rio Busiaire

### 3 CARATTERIZZAZIONE GEOTECNICA

---

Al fine di definire i parametri geotecnici del terreno di fondazione dell'edificio in progetto, è stata condotta un'indagine geognostica con utilizzo di escavatore di tipo "ragno". I pozzetti sono stati spinti fino alla quota di 3m dal piano di campagna.

La stratigrafia osservata è del tipo seguente:

Descrizione	Potenza media
1. Terreno vegetale con abbondante componente grossolana	0.4 m
2. Depositi di conoide alluvionale con abbondante componente detritica grossolana di pezzatura fino a metrica poco arrotondata in scarsa matrice sabbioso-limosa, di colore bruno	1.5 m
3. appaiono grossi blocchi di dimensione plurimetrica, caratterizzati da mutuo incastro, che l'escavatore non riesce a liberare completamente	Fondo scavo

#### Terreno di fondazione:

Peso di volume naturale:  $\gamma = 2.0 \text{ t / m}^3$

Angolo di attrito:  $\phi = 43^\circ$

Angolo di attrito terreno muro:  $\phi = 28,7^\circ$

Coesione:  $c' = 0 \text{ kPa}$

#### Materiale di reinterro:

Peso di volume naturale:  $\gamma = 1.8 \text{ t / m}^3$

Angolo di attrito:  $\phi = 35^\circ$

Angolo di attrito terreno muro:  $\phi = 24,5^\circ$

Coesione:  $c' = 0 \text{ kPa}$

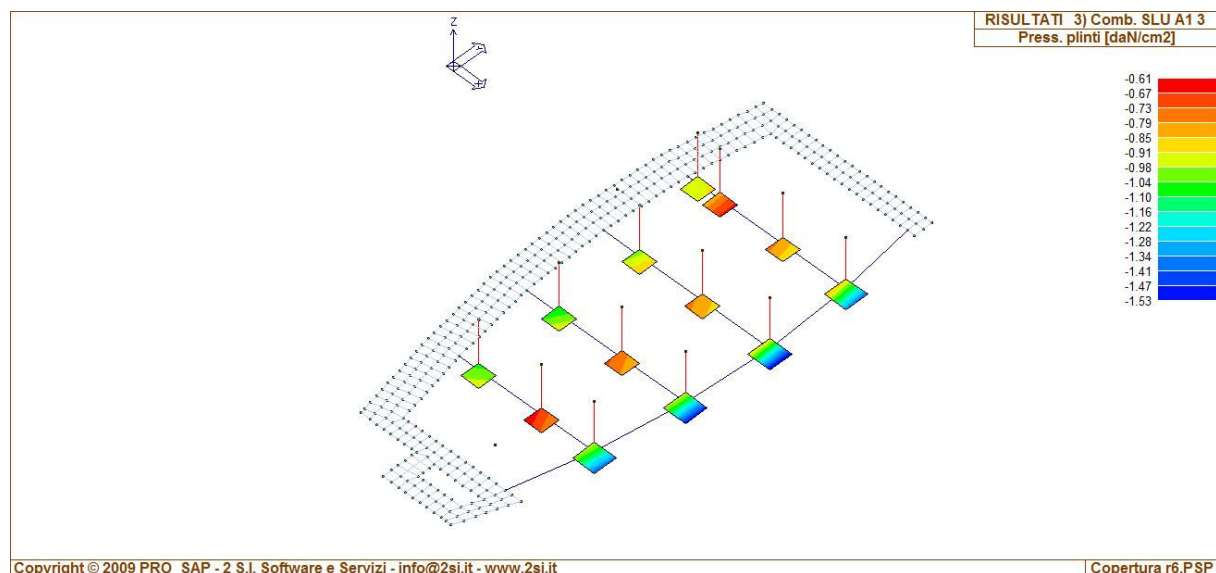
### 3.1 Sollecitazioni

Cmb.	Plinto	Tipo	Vx	Vy	N	Mx	My	T
1.	1120	SLU STR.	4124,9	187,0	-11020,0	-3165,0	-176000,0	-2040,3
2.	1120	SLU STR.	3166,0	136,6	-9235,5	-3162,1	-133900,0	-1473,3
3.	1120	SLU STR.	4110,9	173,5	-12430,0	-4512,5	-173200,0	-1862,0
4.	1120	SLU STR.	3151,9	123,1	-10640,0	-4509,6	-131100,0	-1295,1
5.	1120	SLU STR.	4126,5	187,0	-11020,0	-3170,4	-176100,0	-2039,8
6.	1120	SLU STR.	3167,5	136,6	-9237,1	-3167,5	-134000,0	-1472,8
7.	1120	SLU STR.	4130,9	206,5	-11010,0	-2749,2	-176000,0	-2231,4
8.	1120	SLU STR.	3171,9	156,2	-9224,6	-2746,3	-133900,0	-1664,5
9.	1120	SLU STR.	4116,8	193,1	-12420,0	-4096,8	-173200,0	-2053,2
10.	1120	SLU STR.	3157,8	142,7	-10630,0	-4093,8	-131100,0	-1486,2
11.	1120	SLU STR.	4136,4	219,6	-11010,0	-2477,5	-176100,0	-2358,4
12.	1120	SLU STR.	3177,4	169,2	-9218,9	-2474,5	-134100,0	-1791,4
13.	1120	SLU Al sism.	2929,1	153,6	-6398,8	-468,5	-130700,0	-1661,1
14.	1120	SLU Al sism.	3451,5	170,3	-6760,0	-748,9	-147400,0	-1960,3
15.	1120	SLU Al sism.	2961,6	149,3	-6394,0	-880,3	-131600,0	-1607,9
16.	1120	SLU Al sism.	3418,9	174,6	-6764,9	-337,0	-146400,0	-2013,4
17.	1120	SLU Al sism.	3120,1	-99,9	-6689,6	-6564,4	-137900,0	772,8
18.	1120	SLU Al sism.	3260,4	423,8	-6469,2	5347,0	-140200,0	-4394,1
19.	1120	SLU Al sism.	3126,4	-101,7	-6688,5	-6687,5	-138100,0	793,7
20.	1120	SLU Al sism.	3254,2	425,6	-6470,3	5470,2	-140000,0	-4415,1
21.	1120	SLE Rare	3176,2	147,1	-8142,0	-2111,3	-136000,0	-1612,2
22.	1120	SLE Rare	3166,8	138,1	-9078,6	-3009,7	-134200,0	-1493,3
23.	1120	SLE Rare	3177,2	147,1	-8143,0	-2114,9	-136100,0	-1611,9
24.	1120	SLE Rare	3180,1	160,1	-8134,8	-1834,1	-136100,0	-1739,6
25.	1120	SLE Rare	3170,7	151,1	-9071,4	-2732,5	-134200,0	-1620,8
26.	1120	SLE Rare	3183,8	168,8	-8130,9	-1652,9	-136100,0	-1824,3
27.	1120	SLE Freq.	3190,3	162,0	-6579,4	-608,7	-139000,0	-1810,7
28.	1120	SLE Freq.	3180,9	153,0	-7516,1	-1507,0	-137200,0	-1691,9
29.	1120	SLE Freq.	3190,8	162,0	-6579,9	-610,5	-139100,0	-1810,5
30.	1120	SLE Freq.	3192,1	166,3	-6577,5	-518,1	-139100,0	-1853,0
31.	1120	SLE Quasi P.	3190,3	162,0	-6579,4	-608,7	-139000,0	-1810,7

### Sollecitazioni alla base della fondazione (forze daN; momenti daNcm):

Cmb.Plinto	Tipo	Vx	Vy	N	Mx	My	T
1. 1120	SLU STR.	4124,9	187,0	-12892,0	-10644,6	-11002,4	-2040,3
2. 1120	SLU STR.	3166,0	136,6	-10675,5	-8626,1	-7260,8	-1473,3
3. 1120	SLU STR.	4110,9	173,5	-14302,0	-11453,7	-8766,0	-1862,0
4. 1120	SLU STR.	3151,9	123,1	-12080,0	-9435,2	-5024,4	-1295,1
5. 1120	SLU STR.	4126,5	187,0	-12892,0	-10651,2	-11040,8	-2039,8
6. 1120	SLU STR.	3167,5	136,6	-10677,1	-8632,7	-7299,2	-1472,8
7. 1120	SLU STR.	4130,9	206,5	-12882,0	-11010,8	-10765,2	-2231,4
8. 1120	SLU STR.	3171,9	156,2	-10664,6	-8992,3	-7023,6	-1664,5
9. 1120	SLU STR.	4116,8	193,1	-14292,0	-11820,0	-8528,4	-2053,2
10. 1120	SLU STR.	3157,8	142,7	-12070,0	-9801,4	-4786,8	-1486,2
11. 1120	SLU STR.	4136,4	219,6	-12882,0	-11261,9	-10645,2	-2358,4
12. 1120	SLU STR.	3177,4	169,2	-10658,9	-9243,3	-7003,6	-1791,4
13. 1120	SLU Al sism.	2929,1	153,6	-7838,8	-6612,9	-13537,6	-1661,1
14. 1120	SLU Al sism.	3451,5	170,3	-8200,0	-7562,5	-9340,8	-1960,3
15. 1120	SLU Al sism.	2961,6	149,3	-7834,0	-6853,9	-13134,4	-1607,9
16. 1120	SLU Al sism.	3418,9	174,6	-8204,9	-7321,4	-9644,0	-2013,4
17. 1120	SLU Al sism.	3120,1	-99,9	-8129,6	-2569,6	-13095,6	772,8
18. 1120	SLU Al sism.	3260,4	423,8	-7909,2	-11605,8	-9782,8	-4394,1
19. 1120	SLU Al sism.	3126,4	-101,7	-8128,5	-2620,3	-13045,6	793,7
20. 1120	SLU Al sism.	3254,2	425,6	-7910,3	-11555,0	-9832,8	-4415,1
21. 1120	SLE Rare	3176,2	147,1	-9582,0	-7993,3	-8953,6	-1612,2
22. 1120	SLE Rare	3166,8	138,1	-10518,6	-8532,9	-7529,2	-1493,3
23. 1120	SLE Rare	3177,2	147,1	-9583,0	-7997,7	-9012,4	-1611,9
24. 1120	SLE Rare	3180,1	160,1	-9574,8	-8237,7	-8895,2	-1739,6
25. 1120	SLE Rare	3170,7	151,1	-10511,4	-8776,9	-7370,8	-1620,8
26. 1120	SLE Rare	3183,8	168,8	-9570,9	-8404,9	-8748,8	-1824,3
27. 1120	SLE Freq.	3190,3	162,0	-8019,4	-7087,9	-11389,2	-1810,7
28. 1120	SLE Freq.	3180,9	153,0	-8956,1	-7627,0	-9964,8	-1691,9
29. 1120	SLE Freq.	3190,8	162,0	-8019,9	-7090,1	-11468,8	-1810,5
30. 1120	SLE Freq.	3192,1	166,3	-8017,5	-7171,3	-11416,0	-1853,0
31. 1120	SLE Quasi P.	3190,3	162,0	-8019,4	-7087,9	-11389,2	-1810,7

## 3.2 Pressioni sul terreno



Copyright © 2009 PRO\_SAP - 2 S.I. Software e Servizi - info@2si.it - www.2si.it

Copertura r6.PSP

### Coordinate vertici della base di fondazione:

Vertice	x (cm)	y (cm)
1	60,0	60,0
2	60,0	-60,0
3	-60,0	-60,0
4	-60,0	60,0

**Pressione sul terreno ai vertici della base (daN/cm<sup>2</sup>):**

Cmb.Plinto	Tipo	P1	P2	P3	P4	Note:
1. 1120	SLU STR.	-0,89	-0,82	-0,90	-0,97	Tutta compressa
2. 1120	SLU STR.	-0,75	-0,69	-0,74	-0,80	Tutta compressa
3. 1120	SLU STR.	-1,00	-0,92	-0,98	-1,06	Tutta compressa
4. 1120	SLU STR.	-0,85	-0,79	-0,82	-0,89	Tutta compressa
5. 1120	SLU STR.	-0,89	-0,82	-0,90	-0,97	Tutta compressa
6. 1120	SLU STR.	-0,75	-0,69	-0,74	-0,80	Tutta compressa
7. 1120	SLU STR.	-0,90	-0,82	-0,89	-0,97	Tutta compressa
8. 1120	SLU STR.	-0,75	-0,68	-0,73	-0,80	Tutta compressa
9. 1120	SLU STR.	-1,00	-0,92	-0,98	-1,06	Tutta compressa
10. 1120	SLU STR.	-0,86	-0,79	-0,82	-0,89	Tutta compressa
11. 1120	SLU STR.	-0,90	-0,82	-0,89	-0,97	Tutta compressa
12. 1120	SLU STR.	-0,75	-0,68	-0,73	-0,80	Tutta compressa
13. 1120	SLU Al sism.	-0,52	-0,47	-0,57	-0,61	Tutta compressa
14. 1120	SLU Al sism.	-0,56	-0,51	-0,58	-0,63	Tutta compressa
15. 1120	SLU Al sism.	-0,52	-0,47	-0,57	-0,61	Tutta compressa
16. 1120	SLU Al sism.	-0,56	-0,51	-0,58	-0,63	Tutta compressa
17. 1120	SLU Al sism.	-0,53	-0,51	-0,60	-0,62	Tutta compressa
18. 1120	SLU Al sism.	-0,56	-0,47	-0,54	-0,62	Tutta compressa
19. 1120	SLU Al sism.	-0,53	-0,51	-0,60	-0,62	Tutta compressa
20. 1120	SLU Al sism.	-0,56	-0,48	-0,54	-0,62	Tutta compressa

Pressione massima = -1,06 daN/cm<sup>2</sup> (Cmb. n.3 Plinto n.1120)

**3.3 Verifiche del plinto:**

Verifica armatura dir. X

Sezioni maggiormente sollecitate:

Sezioni tangenti alla sagoma del pilastro.

Sez.1-1: ||y, x = 12,5 cm

Sez.2-2: ||y, x = -12,5 cm

Cmb.Plinto	Sez.1-1		Sez.2-2	
	V (daN)	M (daN cm)	V (daN)	M (daN cm)
1.1120	4230,5	99792,5	4493,6	107406,4
2.1120	3568,9	84311,1	3742,5	89335,7
3.1120	4815,4	113821,8	5025,0	119888,1
4.1120	4151,6	98288,6	4271,7	101765,6
5.1120	4230,1	99779,3	4494,1	107419,7
6.1120	3569,1	84312,3	3743,6	89363,5
7.1120	4229,4	99780,6	4486,9	107230,3
8.1120	3567,4	84290,9	3735,4	89151,4
9.1120	4814,3	113810,0	5018,2	119711,9
10.1120	4150,5	98276,8	4264,9	101589,4
11.1120	4230,8	99822,1	4485,4	107188,8
12.1120	3565,4	84243,9	3732,9	89090,6
13.1120	2371,0	55471,5	2694,7	64839,8
14.1120	2564,2	60319,3	2787,5	66783,3
15.1120	2373,9	55565,6	2688,0	64654,9
16.1120	2562,4	60259,7	2793,1	66933,6
17.1120	2491,4	58358,2	2804,6	67420,6
18.1120	2443,8	57432,6	2677,7	64202,5
19.1120	2491,6	58365,2	2803,5	67393,1
20.1120	2443,6	57425,5	2678,7	64230,0

Copriferro = 5,0 cm



**Verifiche sezioni maggiormente sollecitate:**

Sezione 2-2:

Momento (+) massimo = 119888,1 daN cm (Cmb. n.3 Plinto n.1120)

Taglio massimo = 5025,0 daN (Cmb. n.3 Plinto n.1120)

Armatura inferiore = 12,06 cmq ( 6 Ø 16 )

Armatura superiore = 12,06 cmq ( 6 Ø 16 )

Ver. Sd/Su con sollecitazioni ultime proporzionali = 0,08 Ok

**Verifica armatura dir. Y**

Sforzo nell'armatura inferiore calcolato con il metodo delle bielle.

Angolo di diffusione dello sforzo compressione nel plinto =  $\alpha_n(A) = \alpha_n((B/4-b/4)/H) = 26,6^\circ$

Sforzo di trazione =  $R_a = (N \max \tan(A) + M_x / Sp_{Plinto}) / 2 = 3163,9 \text{ daN}$

Armatura = 12,06 cmq ( 6 Ø 16 )

Sforzo di trazione ultimo = 47205,85 daN Ok

**Punzonamento:**

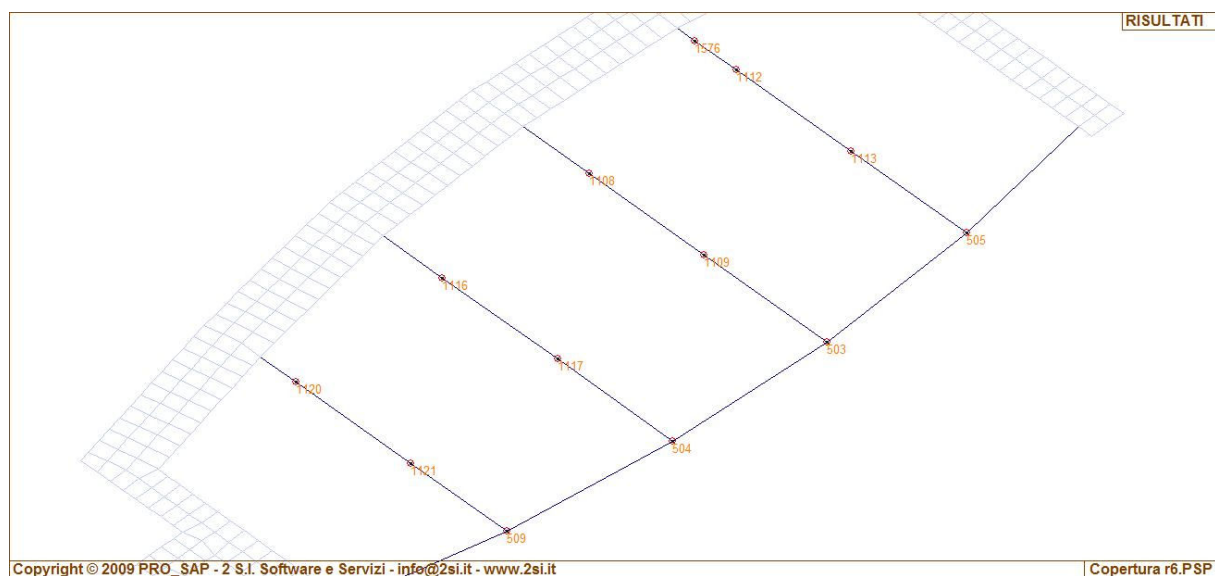
Carico massimo trasmesso dal pilastro = -12430,00 daN (Cmb. n.3 Plinto n.1120)

Angolo di diffusione degli sforzi tangenziali:  $45^\circ$  rispetto la base

$f_{ctd} = 15,39 \text{ daN/cm}^2$

Res.ultima al punzonamento CLS =  $0,5 p h f_{ctd} = 89242,66 \text{ daN} > N \Rightarrow$  Armatura non richiesta.

## 4 VERIFICA PLINTI 150X150



Il plinto 150x150 più sollecitato risulta essere il n.504

### 4.1 Sollecitazioni

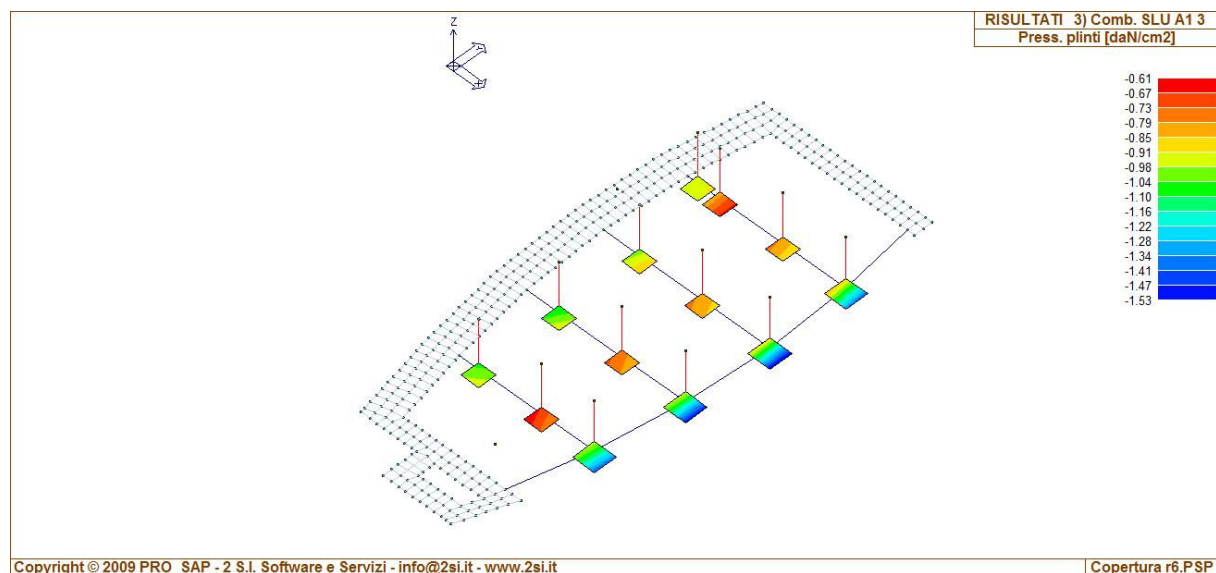
**Sollecitazioni alla base del pilastro (forze daN; momenti daNcm):**

Cmb.Plinto	Tipo	Vx	Vy	N	Mx	My	T
1.504	SLU STR.	4531,9	-136,4	-20120,0	-4232,5	-39100,0	403,0
2.504	SLU STR.	3481,9	-105,9	-17820,0	-3453,6	-21220,0	213,4
3.504	SLU STR.	4524,0	-138,1	-24430,0	-4604,0	-22850,0	223,1
4.504	SLU STR.	3474,0	-107,6	-22140,0	-3825,1	-4968,0	33,5
5.504	SLU STR.	4532,1	-136,5	-20190,0	-4226,2	-38790,0	403,7
6.504	SLU STR.	3482,0	-105,9	-17900,0	-3447,3	-20920,0	214,1
7.504	SLU STR.	4533,6	-117,9	-20010,0	-4280,7	-39650,0	459,1
8.504	SLU STR.	3483,6	-87,4	-17720,0	-3501,8	-21770,0	269,5
9.504	SLU STR.	4525,7	-119,6	-24330,0	-4652,2	-23400,0	279,3
10.504	SLU STR.	3475,6	-89,1	-22030,0	-3873,3	-5516,6	89,7
11.504	SLU STR.	4534,9	-105,6	-20010,0	-4306,5	-39710,0	497,3
12.504	SLU STR.	3484,8	-75,1	-17720,0	-3527,6	-21830,0	307,7
13.504	SLU Al sism.	3288,8	-122,5	-9381,2	-3705,0	-51660,0	317,1
14.504	SLU Al sism.	3704,4	-82,5	-9762,8	-1817,8	-53090,0	786,9
15.504	SLU Al sism.	3300,0	-90,2	-9372,3	-3314,1	-51980,0	458,6
16.504	SLU Al sism.	3693,2	-114,9	-9771,7	-2208,7	-52770,0	645,4
17.504	SLU Al sism.	3478,5	-312,5	-9573,0	-2455,5	-51490,0	-17,1
18.504	SLU Al sism.	3514,7	107,4	-9571,0	-3067,3	-53260,0	1121,1
19.504	SLU Al sism.	3480,9	-302,5	-9573,3	-2238,9	-51570,0	15,9
20.504	SLU Al sism.	3512,3	97,5	-9570,7	-3283,9	-53180,0	1088,2
21.504	SLE Rare	3488,0	-104,5	-14430,0	-3167,8	-34010,0	352,9
22.504	SLE Rare	3482,7	-105,7	-17310,0	-3415,5	-23180,0	233,0
23.504	SLE Rare	3488,1	-104,6	-14480,0	-3163,6	-33810,0	353,4
24.504	SLE Rare	3489,1	-92,2	-14360,0	-3200,0	-34380,0	390,3
25.504	SLE Rare	3483,8	-93,3	-17240,0	-3447,6	-23540,0	270,4
26.504	SLE Rare	3489,9	-84,0	-14360,0	-3217,1	-34420,0	415,8
27.504	SLE Freq.	3496,6	-102,5	-9572,0	-2761,4	-52380,0	552,0
28.504	SLE Freq.	3491,3	-103,7	-12450,0	-3009,1	-41540,0	432,1
29.504	SLE Freq.	3496,7	-102,5	-9595,6	-2759,3	-52270,0	552,3
30.504	SLE Freq.	3497,0	-98,4	-9571,9	-2770,0	-52400,0	564,7
31.504	SLE Quasi P.	3496,6	-102,5	-9572,0	-2761,4	-52380,0	552,0

## Sollecitazioni alla base della fondazione (forze daN; momenti daNcm):

Cmb.Plinto	Tipo	Vx	Vy	N	Mx	My	T
1.504	SLU STR.	4531,9	-136,4	-23045,0	1223,5	142176,8	403,0
2.504	SLU STR.	3481,9	-105,9	-20070,0	781,2	118055,2	213,4
3.504	SLU STR.	4524,0	-138,1	-27355,0	920,8	158110,4	223,1
4.504	SLU STR.	3474,0	-107,6	-24390,0	478,9	133990,8	33,5
5.504	SLU STR.	4532,1	-136,5	-23115,0	1232,6	142492,8	403,7
6.504	SLU STR.	3482,0	-105,9	-20150,0	790,3	118361,2	214,1
7.504	SLU STR.	4533,6	-117,9	-22935,0	435,3	141693,2	459,1
8.504	SLU STR.	3483,6	-87,4	-19970,0	-7,0	117572,0	269,5
9.504	SLU STR.	4525,7	-119,6	-27255,0	132,7	157626,8	279,3
10.504	SLU STR.	3475,6	-89,1	-24280,0	-309,7	133509,0	89,7
11.504	SLU STR.	4534,9	-105,6	-22935,0	-80,9	141684,0	497,3
12.504	SLU STR.	3484,8	-75,1	-19970,0	-523,2	117562,4	307,7
13.504	SLU Al sism.	3288,8	-122,5	-11631,2	1196,6	79890,8	317,1
14.504	SLU Al sism.	3704,4	-82,5	-12012,8	1482,2	95087,2	786,9
15.504	SLU Al sism.	3300,0	-90,2	-11622,3	291,9	80021,2	458,6
16.504	SLU Al sism.	3693,2	-114,9	-12021,7	2386,9	94956,8	645,4
17.504	SLU Al sism.	3478,5	-312,5	-11823,0	10043,7	87651,2	-17,1
18.504	SLU Al sism.	3514,7	107,4	-11821,0	-7364,9	87326,8	1121,1
19.504	SLU Al sism.	3480,9	-302,5	-11823,3	9862,3	87664,4	15,9
20.504	SLU Al sism.	3512,3	97,5	-11820,7	-7183,5	87313,6	1088,2
21.504	SLE Rare	3488,0	-104,5	-16680,0	1012,2	105508,4	352,9
22.504	SLE Rare	3482,7	-105,7	-19560,0	810,5	116127,6	233,0
23.504	SLE Rare	3488,1	-104,6	-16730,0	1018,4	105712,4	353,4
24.504	SLE Rare	3489,1	-92,2	-16610,0	486,9	105182,8	390,3
25.504	SLE Rare	3483,8	-93,3	-19490,0	284,8	115812,0	270,4
26.504	SLE Rare	3489,9	-84,0	-16610,0	142,5	105176,4	415,8
27.504	SLE Freq.	3496,6	-102,5	-11822,0	1339,4	87484,0	552,0
28.504	SLE Freq.	3491,3	-103,7	-14700,0	1137,7	98113,2	432,1
29.504	SLE Freq.	3496,7	-102,5	-11845,6	1342,3	87596,0	552,3
30.504	SLE Freq.	3497,0	-98,4	-11821,9	1167,2	87480,8	564,7
31.504	SLE Quasi P.	3496,6	-102,5	-11822,0	1339,4	87484,0	552,0

## 4.2 Pressioni sul terreno



## Coordinate vertici della base di fondazione:

Vertice	x (cm)	y (cm)
1	75,0	75,0
2	75,0	-75,0
3	-75,0	-75,0
4	-75,0	75,0

### Pressione sul terreno ai vertici della base (daN/cm<sup>2</sup>):

Cmb.Plinto	Tipo	P1	P2	P3	P4	Note:
1.504	SLU STR.	-1,27	-1,28	-0,77	-0,77	Tutta compressa
2.504	SLU STR.	-1,10	-1,10	-0,68	-0,68	Tutta compressa
3.504	SLU STR.	-1,50	-1,50	-0,94	-0,93	Tutta compressa
4.504	SLU STR.	-1,32	-1,32	-0,85	-0,84	Tutta compressa
5.504	SLU STR.	-1,28	-1,28	-0,78	-0,77	Tutta compressa
6.504	SLU STR.	-1,10	-1,11	-0,69	-0,68	Tutta compressa
7.504	SLU STR.	-1,27	-1,27	-0,77	-0,77	Tutta compressa
8.504	SLU STR.	-1,10	-1,10	-0,68	-0,68	Tutta compressa
9.504	SLU STR.	-1,49	-1,49	-0,93	-0,93	Tutta compressa
10.504	SLU STR.	-1,32	-1,32	-0,84	-0,84	Tutta compressa
11.504	SLU STR.	-1,27	-1,27	-0,77	-0,77	Tutta compressa
12.504	SLU STR.	-1,10	-1,10	-0,68	-0,68	Tutta compressa
13.504	SLU Al sism.	-0,66	-0,66	-0,38	-0,37	Tutta compressa
14.504	SLU Al sism.	-0,70	-0,71	-0,37	-0,36	Tutta compressa
15.504	SLU Al sism.	-0,66	-0,66	-0,37	-0,37	Tutta compressa
16.504	SLU Al sism.	-0,70	-0,71	-0,37	-0,36	Tutta compressa
17.504	SLU Al sism.	-0,66	-0,70	-0,39	-0,35	Tutta compressa
18.504	SLU Al sism.	-0,69	-0,67	-0,36	-0,38	Tutta compressa
19.504	SLU Al sism.	-0,66	-0,70	-0,39	-0,35	Tutta compressa
20.504	SLU Al sism.	-0,69	-0,67	-0,36	-0,38	Tutta compressa

Pressione massima = -1,50 daN/cm<sup>2</sup> (Cmb. n.3 Plinto n.504)

## 4.3 Verifiche del plinto:

Verifica armatura dir. X

Sezioni maggiormente sollecitate:

Sezioni tangenti alla sagoma del pilastro.

Sez.1-1: ||y, x = 12,5 cm

Sez.2-2: ||y, x = -12,5 cm

Cmb.Plinto	Sez.1-1		Sez.2-2	
	V (daN)	M (daN cm)	V (daN)	M (daN cm)
1.504	9765,6	315460,0	7001,1	208498,3
2.504	8572,8	276438,6	6277,2	187623,9
3.504	11716,4	377573,3	8642,0	258624,6
4.504	10527,7	338682,9	7922,3	237879,6
5.504	9797,8	316490,4	7027,2	209290,9
6.504	8609,1	277595,3	6307,6	188550,5
7.504	9715,1	313845,8	6959,9	207247,9
8.504	8526,4	274954,7	6240,3	186503,6
9.504	11670,0	376089,3	8605,0	257504,4
10.504	10477,2	337069,3	7881,2	236628,5
11.504	9715,0	313842,3	6960,0	207251,4
12.504	8526,3	274951,1	6240,4	186507,2
13.504	4685,6	152202,8	3132,1	92099,8
14.504	4992,3	162887,5	3143,4	91352,0
15.504	4683,1	152136,0	3127,1	91934,8
16.504	4994,7	162954,5	3148,4	91517,1
17.504	4840,9	157619,1	3136,6	91677,8
18.504	4836,9	157471,3	3138,9	91774,0
19.504	4841,2	157628,1	3136,6	91676,9
20.504	4836,7	157462,3	3138,9	91775,0

Copri ferro = 5,0 cm

**Verifiche sezioni maggiormente sollecitate:**

Sezione 1-1:

Momento (+) massimo = 377573,3 daN cm (Cmb. n.3 Plinto n.504)

Taglio massimo = 11716,4 daN (Cmb. n.3 Plinto n.504)

Armatura inferiore = 14,07 cmq ( 7 Ø 16 )

Armatura superiore = 14,07 cmq ( 7 Ø 16 )

Ver. Sd/Su con sollecitazioni ultime proporzionali = 0,21 Ok

Verifica armatura dir. Y

Sezioni maggiormente sollecitate:

Sezioni tangenti alla sagoma del pilastro.

Sez.3-3: ||x, y = 20,0 cm

Sez.4-4: ||x, y = -20,0 cm

Cmb.Plinto	Sez.3-3		Sez.4-4	
	V(daN)	M(daN cm)	V(daN)	M(daN cm)
1.504	7366,0	202503,8	7388,7	203249,5
2.504	6526,7	179446,9	6541,3	179923,1
3.504	8949,1	246055,2	8966,2	246616,4
4.504	8113,6	223099,0	8122,4	223391,0
5.504	7391,6	203206,9	7414,5	203958,2
6.504	6556,0	180250,8	6570,7	180732,5
7.504	7333,0	201634,8	7341,0	201900,1
8.504	6497,4	178678,8	6497,3	178674,5
9.504	8919,8	245287,1	8922,2	245367,9
10.504	8080,5	222230,2	8074,8	222041,5
11.504	7337,8	201792,1	7336,2	201742,8
12.504	6502,2	178836,1	6492,5	178517,2
13.504	3428,7	94229,3	3450,9	94958,6
14.504	3565,9	97989,9	3593,5	98893,3
15.504	3433,8	94415,3	3439,2	94593,2
16.504	3560,8	97804,0	3605,1	99258,8
17.504	3416,8	93467,0	3603,4	99588,5
18.504	3577,8	98752,2	3441,0	94263,4
19.504	3418,6	93525,4	3601,8	99536,3
20.504	3576,0	98693,8	3442,5	94315,6

Sezione 4-4:

Momento (+) massimo = 246616,4 daN cm (Cmb. n.3 Plinto n.504)

Taglio massimo = 8966,2 daN (Cmb. n.3 Plinto n.504)

Armatura inferiore = 14,07 cmq ( 7 Ø 16 )

Armatura superiore = 14,07 cmq ( 7 Ø 16 )

Ver. Sd/Su con sollecitazioni ultime proporzionali = 0,14 Ok

**Punzonamento:**

Carico massimo trasmesso dal pilastro = -24430,00 daN (Cmb. n.3 Plinto n.504)

Angolo di diffusione degli sforzi tangenziali: 45° rispetto la base

fctd = 15,39 daN/cm<sup>2</sup>

Res.ultima al punzonamento CLS = 0,5 p h fctd = 89242,66 daN > N => Armatura non richiesta.

## 5 VERIFICA MURI D'ALA

### 5.1 MURI H=208

CAMPIGLIA SOANA Muro controterra H=208cm			
GEOMETRIA MURO			
Descrizione	Simbolo	Dim.	u.m.
Altezza	$H_m$	2,08	m
Spessore in sommità	$b_0$	0,20	m
Pendenza scarpa esterna (tg $\alpha_e$ )	$p_e$	0,00	%
Pendenza scarpa interna (tg $\alpha_i$ )	$p_i$	0,05	%
Inclinaz. paramento interno risp. verticale	$\beta$	2,58	gradi
Spessore del muro alla base	$b_H$	0,29	m
Larghezza fondazione a monte	$b_m$	1,40	m
Larghezza fondazione a valle	$b_v$	0,30	m
Ingombro fondazione (proiez. orizzontale)	$B_0$	1,99	m
Altezza fondazione lato monte	$F_m$	0,40	m
Altezza fondazione lato valle	$F_v$	0,40	m
Inclinazione della base di fondazione	$\alpha$	0,00	gradi
Larghezza effettiva della fondazione	$B$	1,99	m
Profondità del piano di posa	$D_f$	0,65	m
Inclinazione piano di campagna	$\omega$	0,00	gradi
Ricoprimento armature	$cf$	0,05	m

CONDIZIONI DI CARICO			
Descrizione	Simbolo	Dim.	u.m.
Accelerazione orizzontale massima	$a_g / g$	0,07	
Fattore di suolo orizzontale	$S_h$	1,00	
Fattore riduttivo	$r$	2,00	
Coefficiente sismico orizzontale	$k_h$	0,0350	
Coefficiente sismico verticale	$k_v$	0,0175	
$\theta = \arctan k_h / (1 + k_v)$	$\theta$	2,04	gradi
Sovracc. permanente (uniforme) sul terreno	$q_p$		t/m <sup>2</sup>
Sovracc. accidentale (uniforme) sul terreno	$q_a$	1,0	t/m <sup>2</sup>

COMBINAZIONI DI CARICO			
Descrizione	Simbolo		
<b>SLU</b>			
Coefficiente di combinazione permanenti	$\gamma_G$	A1/M1 1,40	A2/M2 1,00
Coefficiente di combinazione variabili	$\gamma_Q$	1,50	1,30
Coef. parziale x angolo d'attrito	$\gamma_\varphi$	1,00	1,25
Coef. parziale x coesione efficace	$\gamma_c$	1,00	1,25
<b>SLU Sismica</b>			
Fattore importanza	$\gamma_I$	1,0	
Coef. riduz. sovracc. (per verifica sismica)	$\psi_{0s}$	0,3	
<b>SLE</b>			
Rare: Coefficiente di combinazione variabili	$\psi_0$	0,7	
Freq: Coefficiente di combinazione variabili	$\psi_1$	0,5	
Perm: Coefficiente di combinazione variabili	$\psi_2$	0,3	

# VERIFICHE DI STABILITA'

N.B. Nel calcolo sono stati trascurati i contributi forniti dalla spinta passiva a valle dello zoccolo di fondazione e dall'adesione alla base.

Risultante carichi verticali	$V = \gamma_G(\Sigma W_{1-3} + V_a + V_p) + \gamma_Q(V_q)$
Risultante carichi orizzontali	$H = \gamma_G(H_a + H_p + S_w) + \gamma_Q(H_q) + \gamma_I \cdot E$
Comp. normale al piano di posa	$N = V \cdot \cos \alpha + H \cdot \sin \alpha$
Comp. tang. al piano di posa	$T = H \cdot \cos \alpha - V \cdot \sin \alpha$
Momento stabilizzante	$M^S = \gamma_G(M_A^S + V_{AS} \cdot b_{VAS} + V_{PS} \cdot b_{VPS}) + \gamma_Q(V_q \cdot b_{VQ})$
Momento ribaltante	$M^R = \gamma_G(H_a \cdot b_{HA} + H_p \cdot b_{HP}) + \gamma_Q(H_q \cdot b_{HQ} + S_w \cdot b_{SW})$
Momento stabilizzante sismico	$M_{S_s}^S = \gamma_G(M_A^S + V_{AS} \cdot b_{VAS} + V_{PS} \cdot b_{VPS}) + \psi_{2s} \cdot \gamma_Q(V_{qs} \cdot b_{VQS})$
Momento ribaltante sismico	$M_{S_s}^R = \gamma_G(M_I^R + H_a \cdot b_{HA} + H_p \cdot b_{HP}) + \psi_{2s} \cdot \gamma_G(H_q \cdot b_{HQ} + \Delta F \cdot b_{LF} + S_w \cdot b_{SW})$

DIAGRAMMA DELLE PRESSIONI ALL'INTERFACCIA FONDAZIONE TERRENO						
N.B. Nel calcolo sono stati trascurati i contributi forniti dalla spinta passiva a valle dello zoccolo di fondazione e dall'adesione alla base.						
Definendo $e_A = (M_A^S + M_A^R) / N$ l'eccentricità della risultante dei carichi verticali rispetto al punto A e calcolando $e_G = (B/2 - e_A)$ l'eccentricità rispetto al centro della fondazione G						
	SLU M1	SLU M2	SLU Sis	SLE rare	SLE freq.	SLE perm.
<b>N</b> [t]	15,481	15,675	9,555	10,910	10,830	10,751
<b>T</b> [t]	4,618	6,454	3,401	2,974	2,799	2,624
<b>M<sub>A</sub><sup>S</sup></b> [tm]	17,785	14,090	3,186	13,320	13,161	13,003
<b>M<sub>A</sub><sup>R</sup></b> [tm]	5,038	5,685	2,883	3,280	3,017	2,755
<b>e<sub>A</sub></b> [m]	1,474	1,262	0,635	1,522	1,494	1,466
<b>e<sub>G</sub></b> [m]	-0,477	-0,265	0,362	-0,525	-0,497	-0,469
<b>B</b> [m]	1,994	1,994	1,906	1,994	1,994	1,994
<b>σ<sub>A</sub></b> [t/m <sup>2</sup> ]	0,000	1,599	10,724	0,000	0,000	0,000
<b>σ<sub>B</sub></b> [t/m <sup>2</sup> ]	0,000	3,484	8,926	0,000	0,000	0,072
<b>σ<sub>C</sub></b> [t/m <sup>2</sup> ]	3,252	5,329	7,167	1,977	2,145	2,314
<b>σ<sub>D</sub></b> [t/m <sup>2</sup> ]	18,924	14,127	0,000	14,115	13,559	13,003

CALCOLO CAPACITA' PORTANTE			
Beq <sub>M1</sub> = B - 2 · e <sub>G,M</sub>	1,04	L = 10,00 m	
Beq <sub>M2</sub> = B - 2 · e <sub>G,M</sub>	1,46		
Beq <sub>S</sub> = B - 2 · e <sub>G,S</sub>	1,27	q' = σ'vo =	1,30 t/m <sup>2</sup>
VERIFICA CAPACITA' PORTANTE			
Carico ultimo di progetto			
M1	M2	Sismica	
[t/m <sup>2</sup> ]	[t/m <sup>2</sup> ]	[t/m <sup>2</sup> ]	
q <sub>D</sub> = 14,904	10,706	7,522	
Carico limite (Brinch Hansen)			
q <sub>LIM</sub> = 45,034	13,901	40,261	
Fs.port =	3,215	1,340	6,262
CALCOLO CARICO LIMITE (Brinch - Hansen)			
Fattori di portanza			
N <sub>q</sub> = 33,30	N <sub>q</sub> * = 14,72	N <sub>qs</sub> = 33,30	
N <sub>c</sub> = 46,12	N <sub>c</sub> * = 25,80	N <sub>cs</sub> = 46,12	
N <sub>γ</sub> = 48,03	N <sub>γ</sub> * = 16,72	N <sub>γs</sub> = 48,03	
Fattori di forma fond.			
s <sub>q</sub> = 1,038	s <sub>q</sub> * = 1,041	s <sub>qs</sub> = 1,047	
s <sub>c</sub> = 1,077	s <sub>c</sub> * = 1,081	s <sub>cs</sub> = 1,094	
s <sub>γ</sub> = 1,038	s <sub>γ</sub> * = 1,041	s <sub>γs</sub> = 1,047	
Fattori di profondità			
d <sub>q</sub> = 1,159	d <sub>q</sub> * = 1,133	d <sub>qs</sub> = 1,130	
d <sub>c</sub> = 1,164	d <sub>c</sub> * = 1,143	d <sub>cs</sub> = 1,134	
Fattori di inclinazione del carico			
m = 1,906	m* = 1,872	m <sub>s</sub> = 1,887	
i <sub>q</sub> = 0,509	i <sub>q</sub> * = 0,370	i <sub>qs</sub> = 0,436	
i <sub>c</sub> = 0,494	i <sub>c</sub> * = 0,324	i <sub>cs</sub> = 0,418	
i <sub>γ</sub> = 0,357	i <sub>γ</sub> * = 0,218	i <sub>γs</sub> = 0,281	
Fattori di incinazione della fondazione			
b <sub>q</sub> = 1,000	b <sub>q</sub> * = 1,000	b <sub>qs</sub> = 1,000	
b <sub>c</sub> = 1,000	b <sub>c</sub> * = 1,000	b <sub>cs</sub> = 1,000	
b <sub>γ</sub> = 1,000	b <sub>γ</sub> * = 1,000	b <sub>γs</sub> = 1,000	
Fattori di incinazione del terreno			
g <sub>q</sub> = 1,000	g <sub>q</sub> * = 1,000	g <sub>qs</sub> = 1,000	
g <sub>c</sub> = 1,000	g <sub>c</sub> * = 1,000	g <sub>cs</sub> = 1,000	
g <sub>γ</sub> = 1,000	g <sub>γ</sub> * = 1,000	g <sub>γs</sub> = 1,000	

**CALCOLO PESI E MOMENTI NELLA SEZ. ATTACCO FUSTO/FONDAZIONE**  
(D.M. 14/01/08 "Norme tecniche per le costruzioni")

**Calcolo spinte alla base del paramento :**

S <sub>a,1</sub>	1,95	S <sub>a,2</sub>	2,63	S <sub>a,s</sub>	2,07
H <sub>a,1</sub>	1,77	H <sub>a,2</sub>	2,48	H <sub>a,s</sub>	2,07
V <sub>a,1</sub>	0,81	V <sub>a,2</sub>	0,88	V <sub>a,s</sub>	0,00
S <sub>p,1</sub>	0,00	S <sub>p,2</sub>	0,00	S <sub>p,s</sub>	0,00
H <sub>p,1</sub>	0,00	H <sub>p,2</sub>	0,00	H <sub>p,s</sub>	0,00
V <sub>p,1</sub>	0,00	V <sub>p,2</sub>	0,00	V <sub>p,s</sub>	0,00
S <sub>q,1</sub>	0,83	S <sub>q,2</sub>	1,12	S <sub>q,s</sub>	0,89
H <sub>q,1</sub>	0,76	H <sub>q,2</sub>	1,06	H <sub>q,s</sub>	0,89
V <sub>q,1</sub>	0,35	V <sub>q,2</sub>	0,38	V <sub>q,s</sub>	0,00
S <sub>w,1</sub>	0,00	S <sub>w,2</sub>	0,00	S <sub>w,s</sub>	0,00

**Calcolo peso paramento**

N° elemento	Peso (t)
P <sub>1</sub>	1,04
P <sub>2</sub>	0,00
P <sub>3</sub>	0,24
TOTALE	1,28

**Calcolo dei momenti (M1)**

Simbolo	Braccio	Momento
M <sub>a,1</sub>	0,87	1,54
M <sub>p,1</sub>	1,30	0,00
M <sub>q,1</sub>	1,30	0,99
S <sub>w</sub>	0,00	0,00
TOTALE		2,52

**Calcolo dei momenti (M2)**

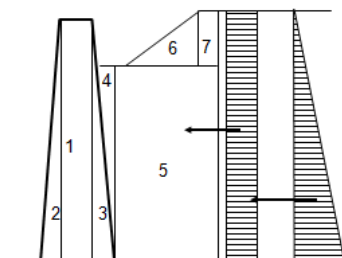
Simbolo	Braccio	Momento
M <sub>a,2</sub>	0,87	2,15
M <sub>p,2</sub>	1,30	0,00
M <sub>q,2</sub>	1,30	1,38
S <sub>w</sub>	0,00	0,00
TOTALE		3,53

**Calcolo dei momenti sismici**

Simbolo	Braccio	Momento
M <sub>a,s</sub>	0,87	1,797
M <sub>p,s</sub>	1,30	0,000
M <sub>q,s</sub>	1,30	1,152
S <sub>w</sub>	0,00	0,000
TOTALE		2,95

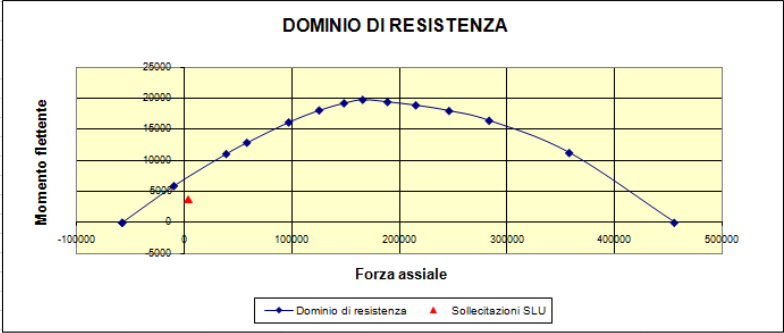
**Calcolo forze sismiche sul paramento**

Simbolo	Forza (t)	Braccio	Momento
Fi,1	0,036	1,04	0,038
Fi,2	0,000	0,69	0,000
Fi,3	0,009	0,69	0,006
Fi,4	0,007	1,47	0,010
Fi,5	0,194	1,10	0,213
Fi,6	0,019	2,33	0,044
Fi,7	0,000	0,00	0,000
ΔF	0,232	1,73	0,402



	Sforzo Normale [t]	Taglio [t]	Momento [tm]	Eccentricità e
CMB SLU M1	3,45	3,62	3,63	1,05
CMB SLU M2	2,66	3,86	3,94	1,48
CMB SLU Sismica	1,58	2,87	2,86	1,80
CMB SLE rare	2,33	2,30	2,23	0,95
CMB SLE frequenti	2,26	2,15	2,03	0,90
CMB SLE permanenti	2,20	2,00	1,83	0,83



DEFINIZIONE DELLA SEZIONE RESISTENTE														
GEOMETRIA SEZIONE				ARMATURA TESA			ARMATURA COMPRESSA							
Base	B	100	cm	N° ferri	φ [mm]	Area [cm²]	N° ferri	φ [mm]	Area [cm²]					
Altezza	H	30	cm	5	14	7,693	5	14	7,693					
Copri ferro	d	6	cm			0			0					
Altezza utile	h	24	cm			0			0					
				Af		7,7	Af		7,7					
MATERIALE														
CALCESTRUZZO				ACCIAIO										
Tipo	C25/30			Tipo	FeB44k									
Valori caratter.	Rck	fck	fcd	fctm	fcc	εcl	εcu	Valori caratter.	fik	fyk	fsd	Es	ascl	εyd
	300	250	156,3	26,29	132,9	0,002	0,0035		5400	4300	3740	200000	0,01	0,0019
daN/cm2														
STATO LIMITE ULTIMO														
CARATTERISTICHE SOLLECITAZIONE														
Combin.	Nsd [daN]	Msd [daNm]												
1	3450	3660												
2														
3														
4														
5														
6														
7														
8														
9														
10														
DOMINIO DI RESISTENZA														
														
STATO LIMITE ESERCIZIO														
TENSIONI DI ESERCIZIO														
Condizioni ambientali : Aggressive														
Tensione massima amm.nell'acciaio 3440 daN/cm2														
Combinazioni	Nsd [daN]	Msd [daNm]	γme	γEo	σc amm. [daN/cm2]	σc [daN/cm2]	Stato confronto	σs amm. [daN/cm2]	σs [daN/cm2]	Stato confronto	Stato della sezione			
Rare	1	2330	1,5	1,5	133	14,4	VERIF	3440	134,4	VERIF	Sez.traz.non fess.			
	2	0,0				VERIF	0,0		VERIF	Sez.tot.compres.				
	3	0,0				VERIF	0,0		VERIF	Sez.tot.compres.				
	4	0,0				VERIF	0,0		VERIF	Sez.tot.compres.				
Quasi perman.	1	2260	2330	1,5	1,9	105	15,0	VERIF	139,6	VERIF	Sez.traz.non fess.			

## 5.2 MURI H=300

CAMPIGLIA SOANA Muro controterra H=208cm				
GEOMETRIA MURO				
Descrizione	Simbolo	Dim.	u.m.	
Altezza	$H_m$	3,00	m	
Spessore in sommità	$b_0$	0,20	m	
Pendenza scarpa esterna (tg $\alpha_e$ )	$p_e$	0,00	%	
Pendenza scarpa interna (tg $\alpha_i$ )	$p_i$	0,07	%	
Inclinaz. paramento interno risp. verticale	$\beta$	3,72	gradi	
Spessore del muro alla base	$b_H$	0,40	m	
Larghezza fondazione a monte	$b_m$	2,30	m	
Larghezza fondazione a valle	$b_v$	0,30	m	
Ingombro fondazione (proiez. orizzontale)	$B_0$	3,00	m	
Altezza fondazione lato monte	$F_m$	0,40	m	
Altezza fondazione lato valle	$F_v$	0,40	m	
Inclinazione della base di fondazione	$\alpha$	0,00	gradi	
Larghezza effettiva della fondazione	$B$	3,00	m	
Profondità del piano di posa	$D_f$	0,65	m	
Inclinazione piano di campagna	$\omega$	0,00	gradi	
Ricoprimento armature	$cf$	0,05	m	

GEOMETRIA DEL TERRENO				
Descrizione	Simbolo	Dim.	u.m.	
Altezza del terreno a monte	$H_t$	3,00	m	
Angolo di inclinazione del terreno	$\eta$	0,00	gradi	
Lunghezza tratto inclinato	$l$	0,00	m	
Lunghezza tratto iniz. orizzontale a quota $H_t$	$x$	0,00	m	
Pos. della falda (rif. alla q. minima fondaz.)	$z_w$	0,00	m	

CONDIZIONI DI CARICO				
Descrizione	Simbolo	Dim.	u.m.	
Accelerazione orizzontale massima	$a_g / g$	0,07		
Fattore di suolo orizzontale	$S_h$	1,00		
Fattore riduttivo	$r$	2,00		
Coefficiente sismico orizzontale	$k_h$	0,0350		
Coefficiente sismico verticale	$k_v$	0,0175		
$\theta = \arctan k_h / (1 + k_v)$	$\theta$	2,04	gradi	
Sovracc. permanente (uniforme) sul terreno	$q_p$		t/m <sup>2</sup>	
Sovracc. accidentale (uniforme) sul terreno	$q_a$	1,0	t/m <sup>2</sup>	

TERRENO DI MONTE				
Descrizione	Simbolo	Dim.	u.m.	
Angolo di attrito interno	$\phi'_{tm}$	35	gradi	
Peso specifico	$\gamma'_{tm}$	1,8	t/m <sup>3</sup>	
Angolo di attrito terra-muro ( $\leq 0,6 \cdot \phi'_{tm}$ )	$\delta$	24,5	gradi	

TERRENO DI FONDAZIONE				
Descrizione	Simbolo	Dim.	u.m.	
Angolo di attrito interno	$\phi'_{tf}$	35	gradi	
Peso specifico	$\gamma'_{tf}$	2,0	t/m <sup>3</sup>	
Angolo di attrito terra-fondazione*	$\delta_{tf}$	35	gradi	
Coesione	$c'$	0,00	t/m <sup>2</sup>	
Coefficiente d'attrito terra-fondazione	$\tan \delta_{tf}$	0,700		

COMBINAZIONI DI CARICO				
Descrizione	Simbolo			
<b>SLU</b>				
Coefficiente di combinazione permanenti	$\gamma_G$	A1/M1	1,40	A2/M2 1,00
Coefficiente di combinazione variabili	$\gamma_Q$		1,50	1,30
Coef. parziale x angolo d'attrito	$\gamma_\phi$		1,00	1,25
Coef. parziale x coesione efficace	$\gamma_c$		1,00	1,25
<b>SLU Sismica</b>				
Fattore importanza	$\gamma_I$		1,0	
Coeff. riduz. sovracc. (per verifica sismica)	$\psi_{0s}$		0,3	
<b>SLE</b>				
Rare: Coefficiente di combinazione variabili	$\psi_0$		0,7	
Freq: Coefficiente di combinazione variabili	$\psi_1$		0,5	
Perm: Coefficiente di combinazione variabili	$\psi_2$		0,3	



**CALCOLO PESI E MOMENTI NELLA SEZ. ATTACCO FUSTO/FONDAZIONE**  
(D.M. 14/01/08 "Norme tecniche per le costruzioni")

**Calcolo spinte alla base del paramento :**

S <sub>a,1</sub>	2,20	S <sub>a,2</sub>	2,82	S <sub>a,s</sub>	2,40
H <sub>a,1</sub>	2,00	H <sub>a,2</sub>	2,66	H <sub>a,s</sub>	2,40
V <sub>a,1</sub>	0,91	V <sub>a,2</sub>	0,95	V <sub>a,s</sub>	0,00
S <sub>p,1</sub>	0,00	S <sub>p,2</sub>	0,00	S <sub>p,s</sub>	0,00
H <sub>p,1</sub>	0,00	H <sub>p,2</sub>	0,00	H <sub>p,s</sub>	0,00
V <sub>p,1</sub>	0,00	V <sub>p,2</sub>	0,00	V <sub>p,s</sub>	0,00
S <sub>q,1</sub>	0,82	S <sub>q,2</sub>	1,05	S <sub>q,s</sub>	0,89
H <sub>q,1</sub>	0,74	H <sub>q,2</sub>	0,98	H <sub>q,s</sub>	0,89
V <sub>q,1</sub>	0,34	V <sub>q,2</sub>	0,35	V <sub>q,s</sub>	0,00
S <sub>w,1</sub>	0,00	S <sub>w,2</sub>	0,00	S <sub>w,s</sub>	0,00

**Calcolo forze sismiche sul paramento**

Simbolo	Forza (t)	Braccio	Momento
Fi,1	0,053	1,50	0,079
Fi,2	0,000	1,00	0,000
Fi,3	0,026	1,00	0,026
Fi,4	0,018	2,00	0,037
Fi,5	0,435	1,50	0,652
Fi,6	0,000	3,00	0,000
Fi,7	0,000	3,00	0,000
ΔF	0,224	2,00	0,448

**Calcolo peso paramento**

N° elemento	Peso (t)
P <sub>1</sub>	1,50
P <sub>2</sub>	0,00
P <sub>3</sub>	0,73
TOTALE	2,23

**Calcolo dei momenti (M1)**

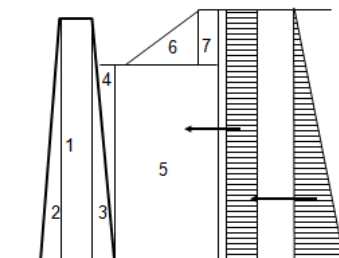
Simbolo	Braccio	Momento
M <sub>a,1</sub>	1,00	2,00
M <sub>p,1</sub>	1,50	0,00
M <sub>q,1</sub>	1,50	1,11
S <sub>w</sub>	0,00	0,00
TOTALE		3,12

**Calcolo dei momenti (M2)**

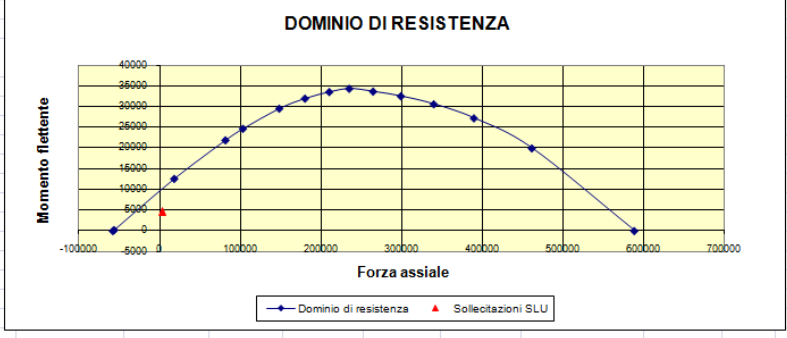
Simbolo	Braccio	Momento
M <sub>a,2</sub>	1,00	2,66
M <sub>p,2</sub>	1,50	0,00
M <sub>q,2</sub>	1,50	1,48
S <sub>w</sub>	0,00	0,00
TOTALE		4,13

**Calcolo dei momenti sismici**

Simbolo	Braccio	Momento
M <sub>a,s</sub>	1,00	2,401
M <sub>p,s</sub>	1,50	0,000
M <sub>q,s</sub>	1,50	1,334
S <sub>w</sub>	0,00	0,000
TOTALE		3,73



	Sforzo Normale [t]	Taglio [t]	Momento [tm]	Eccentricità e
CMB SLU M1	4,91	3,92	4,48	0,91
CMB SLU M2	3,63	3,94	4,58	1,26
CMB SLU Sismica	2,53	3,46	4,04	1,60
CMB SLE rare	3,38	2,52	2,78	0,82
CMB SLE frequenti	3,31	2,38	2,56	0,77
CMB SLE permanenti	3,25	2,23	2,34	0,72

DEFINIZIONE DELLA SEZIONE RESISTENTE														
GEOMETRIA SEZIONE				ARMATURA TESA			ARMATURA COMPRESSA							
Base	B	100	cm	N° ferri	φ [mm]	Area [cm²]	N° ferri	φ [mm]	Area [cm²]					
Altezza	H	40	cm	5	14	7,693	5	14	7,693					
Copriferro	d	6	cm			0			0					
Altezza utile	h	34	cm			0			0					
				Af		7,7	Af		7,7					
MATERIALE														
CALCESTRUZZO				ACCIAIO										
Tipo	C25/30			Tipo	FeB44k									
Valori caratter.	Rck	fck	fcd	fctm	fcc	εcl	εcu	Valori caratter.	fik	fyk	fsd	Es	ascl	εyd
	300	250	156,3	26,29	132,9	0,002	0,0035		5400	4300	3740	200000	0,01	0,0019
				daN/cm2										
STATO LIMITE ULTIMO														
CARATTERISTICHE SOLLECITAZIONE														
Combin.	Nsd [daN]	Msd [daNm]												
1	3530	4580												
2														
3														
4														
5														
6														
7														
8														
9														
10														
DOMINIO DI RESISTENZA														
														
STATO LIMITE ESERCIZIO														
TENSIONI DI ESERCIZIO														
Condizioni ambientali : Aggressive														
Tensione massima amm.nell'acciaio 3440 daN/cm2														
Combinazioni	Nsd [daN]	Msd [daNm]	γme	γEo	σc amm. [daN/cm2]	σc [daN/cm2]	Stato confronto	σs amm. [daN/cm2]	σs [daN/cm2]	Stato confronto	Stato della sezione			
Rare	1	3380	1,5	1,5	133	10,4	VERIF	3440	112,9	VERIF	Sez.traz.non fess.			
	2	0,0				VERIF	0,0		VERIF	Sez.tot.compres.				
	3	0,0				VERIF	0,0		VERIF	Sez.tot.compres.				
	4	0,0				VERIF	0,0		VERIF	Sez.tot.compres.				
Quasi perman.	1	3250	2340	1,5	1,9	105	8,9	VERIF	96,5	VERIF	Sez.traz.non fess.			